

POSSIBLE PHYSICS INTERESTS FOR THE TRAPPING OF RADIOACTIVE Rb ATOMS

A. CASSIMI

*Centre Interdisciplinaire de Recherche Ions Lasers
Caen, France*

POSSIBLE PHYSICS INTERESTS FOR THE TRAPPING OF RADIOACTIVE Rb ATOMS



X. FLECHARD
J. BLIECK
G. BAN
M. LABALME
L. ACHOURI



A. CASSIMI
D. HENNECART
M. LAROCHE
S. GIRARD
H. GILLES

P. DELAHAYE



ATOMIC PHYSICS MOTIVATIONS

Recoil Ion Momentum Spectroscopy

4π detection solid angle

Collision Dynamics

Internal Energy

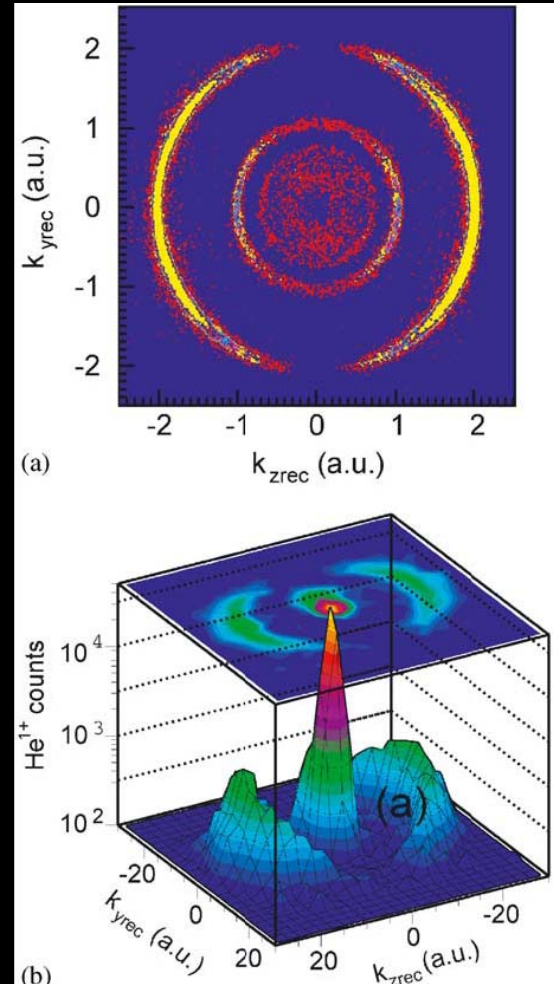
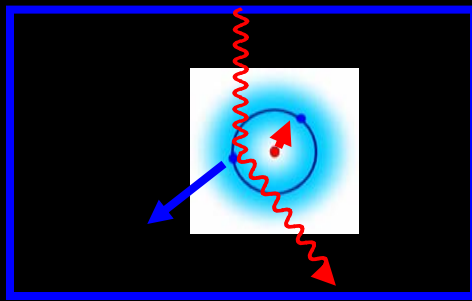
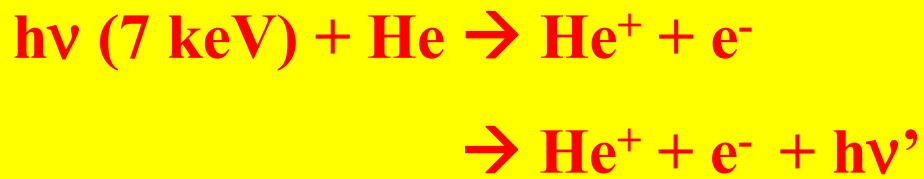
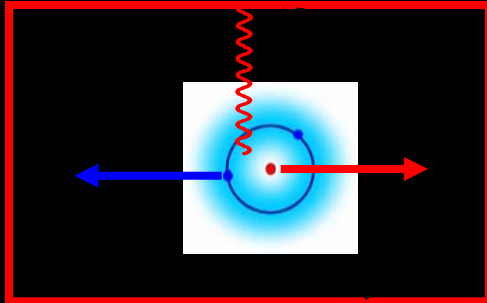
Kansas State University, Manhattan, Kansas

IKF, Frankfurt, Germany

CIRIL, Caen, France

ATOMIC PHYSICS MOTIVATIONS

Photoelectric Effect



R.Dörner et al, IKF Frankfurt

ATOMIC PHYSICS MOTIVATIONS

Ion-Atom Collisions

Electron capture = inelastic 2-body collision + mass transfert

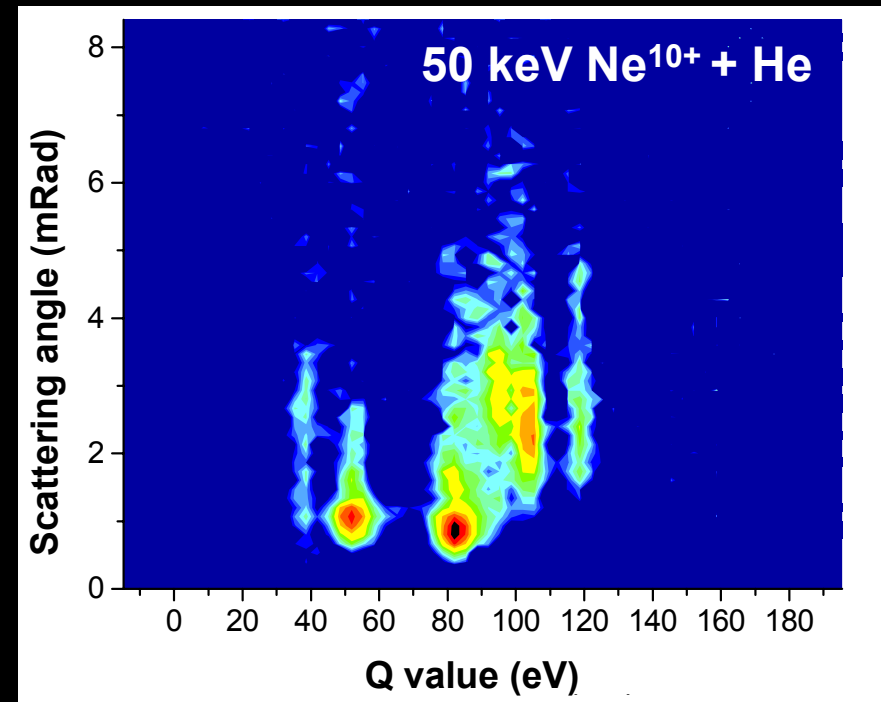
Energy and Momentum
conservation

Inelasticity Q

$$Q = v_P P'_{R//} + v_P^2 N_C/2$$

Scattering angle θ

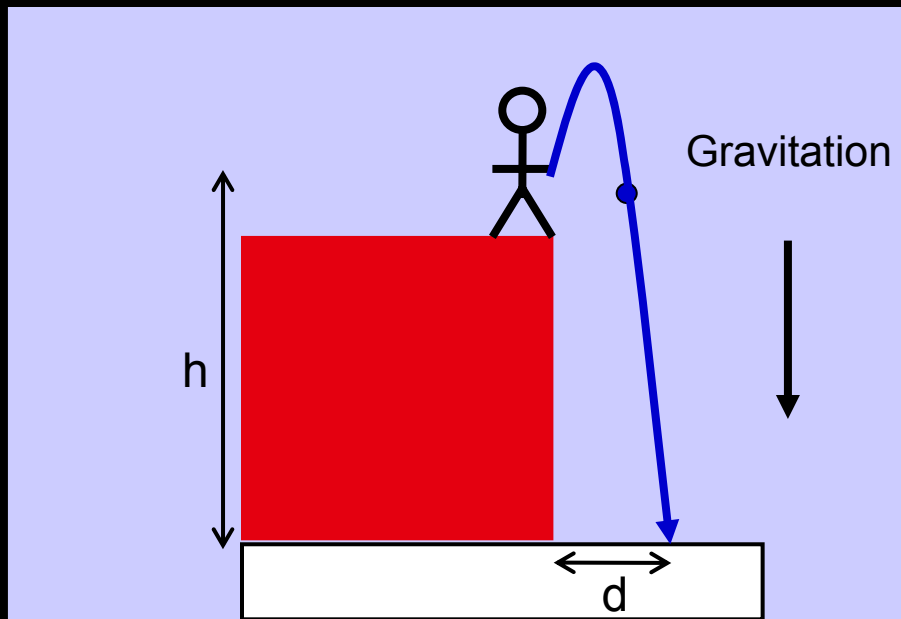
$$\theta = P'_{R\perp} / P_{P//}$$



X.Fléchard et al, CIRIL, Caen

ATOMIC PHYSICS MOTIVATIONS

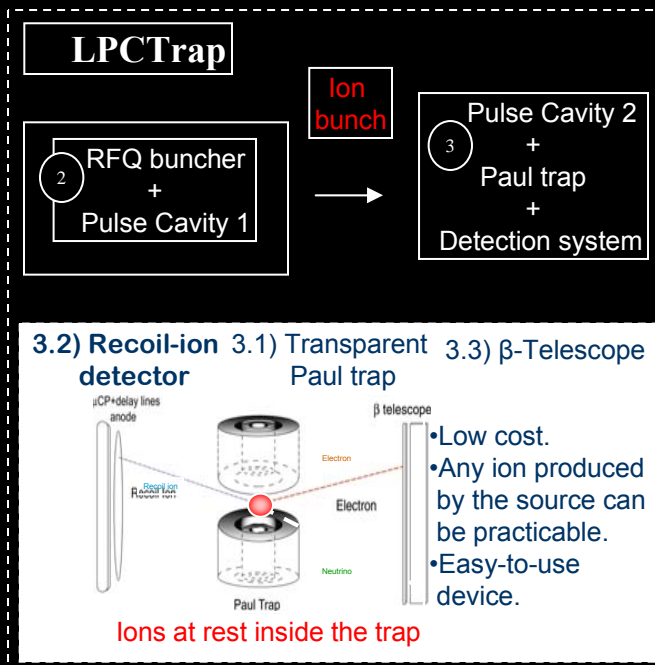
Recoil Ion Momentum Spectroscopy: Principle



→ COLD and LOCALIZED Target

NUCLEAR PHYSICS MOTIVATIONS

$\beta^- - \nu$ angular correlation measurements using a Paul Trap



NUCLEAR PHYSICS MOTIVATIONS

The main contributions to systematic uncertainties
are coming from **TEMPERATURE**
and
SIZE of the ion cloud,

→ COLD and LOCALIZED Target

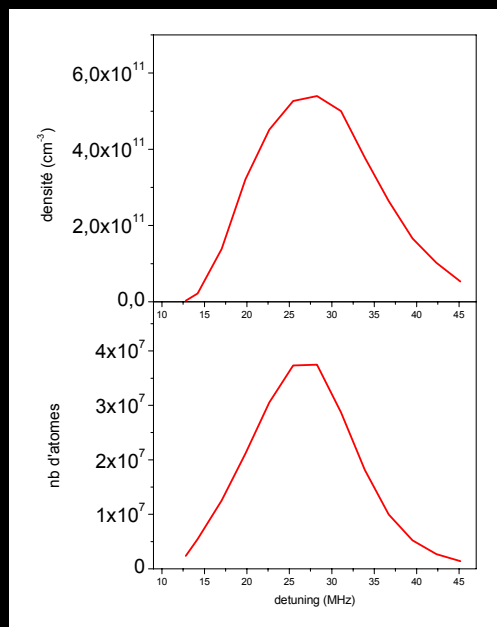
^{87}Rb Magneto Optical Trap: characteristics

Number of atoms

$4 \cdot 10^7$ atoms

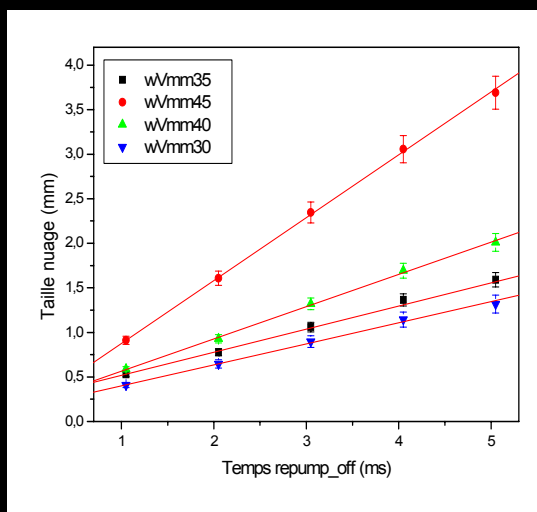
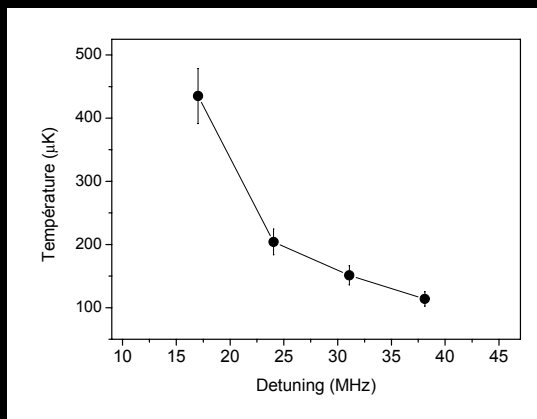
Density

$> 5 \cdot 10^{11}$ at/cm³

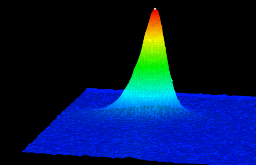


Cloud size 500 μm

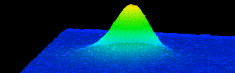
Temperature $< 200\mu\text{K}$



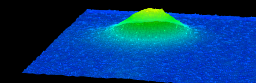
1 ms



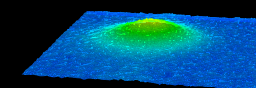
2 ms



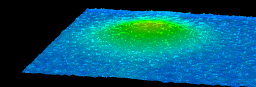
3 ms



4 ms



5 ms

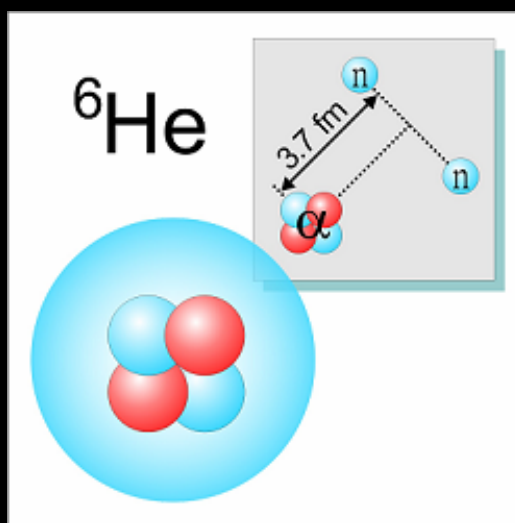


^{87}Rb Magneto Optical Trap: characteristics

	Paul Trap	MOT
Temperature	1000 K	200 μK
Size	1.2*0.6 mm	\varnothing 500 μm

Trapping radioactive Rb atoms?

**The Magnetic Optical Trap: a powerful tool for
* Laser Spectroscopy!**



*L.-B. Wang et al.,
PRL 93, 142501 (2004)*

**Isotope shift
($2^3S_1 - 3^3P_2$, ${}^6\text{He} - {}^4\text{He}$)**

43 194.772(56) MHz



${}^6\text{He}$ rms charge radius

2.054(14) fm (0.7%)

*Courtesy of Peter Müller,
Argonne Nat. Lab*

Isotope shifts and hyperfine structure

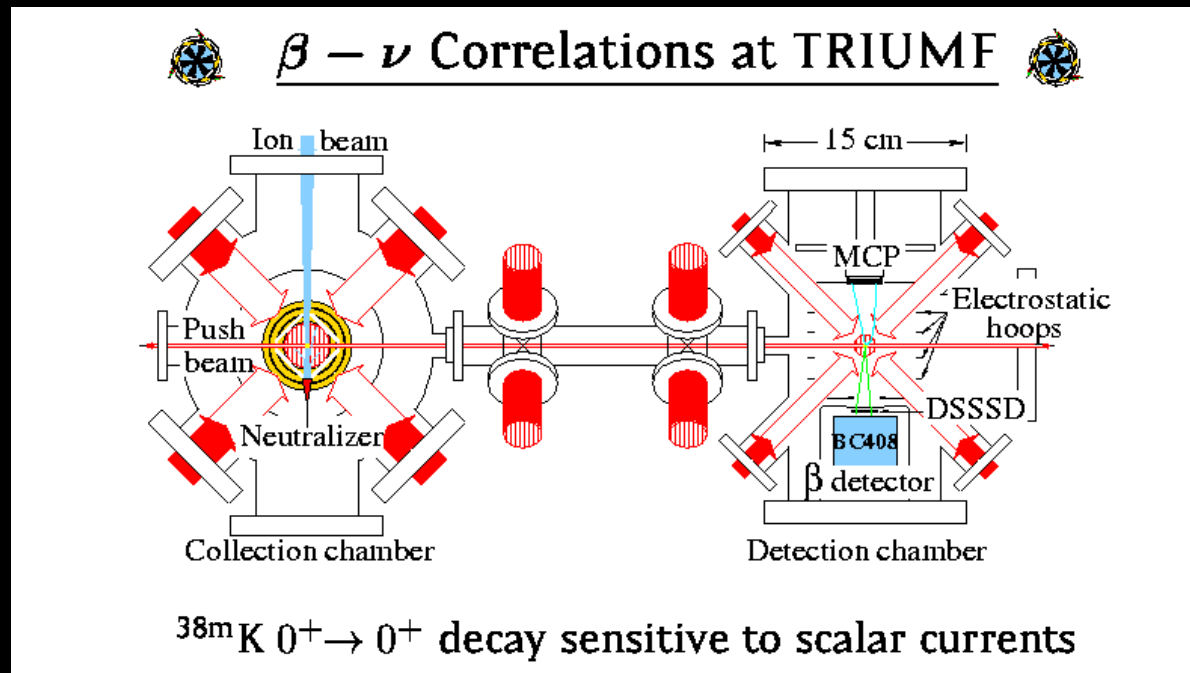
Rb: almost all measurements have been done with collinear laser spectroscopy

$\delta\langle r^2 \rangle$, μ , Q , $J \rightarrow$ *C. Thibaut et al., Phys. Rev. C 23(1981)2720*

Bohr Weisskopf effect or “hyperfine anomaly”?

Trapping radioactive Rb atoms?

The Magnetic Optical Trap: a powerful tool for
 * $\beta - \nu$ angular correlation measurements



TRIUMF: ^{38m}K

J. Behr et al,
Phys. Rev. Lett. 79, 375

Berkeley: ^{21}Na

N. D. Scielzo et al,
Phys. Rev. Lett. 93,
102501 (2004)

From Dan Melconian, PhD, Triumf

A. Gorelov et al,
Phys. Rev. Lett. 94, 142501

$$\tilde{a} = 0.9981 \pm 0.0030 \begin{matrix} +0.0032 \\ -0.0037 \end{matrix}$$

e- shakeoff \uparrow

^{74}Rb : a possible candidate!

Trapping radioactive Rb atoms?

**The Magnetic Optical Trap: strong potentialities for
* The tests of fundamental symmetries!**

- Test of the parity violation in the nuclear beta decay of ^{82}Rb

LANL, S. Crane et al., PRL 86, 2967, (2001)

- Probing the T-reversal symmetry by the search for an atomic EDM in ^{225}Ra

Argonne National Laboratory

- Atomic Parity Non Conservation in Francium

INFN Ferrara/Legnaro and Stony Brook

Physics with polarized nuclides

An additional trap for polarization is needed!

Trapping radioactive atoms?

- Some preliminary ideas

	Zr target		UCx target		
	74Rb	82Rb	85Rb	87Rb	102Rb
T1/2	$\times 10^3$	$\times 10^9$	stable	stable	$\times 10^2$
Yield	64.9ms	1.273mn			37ms

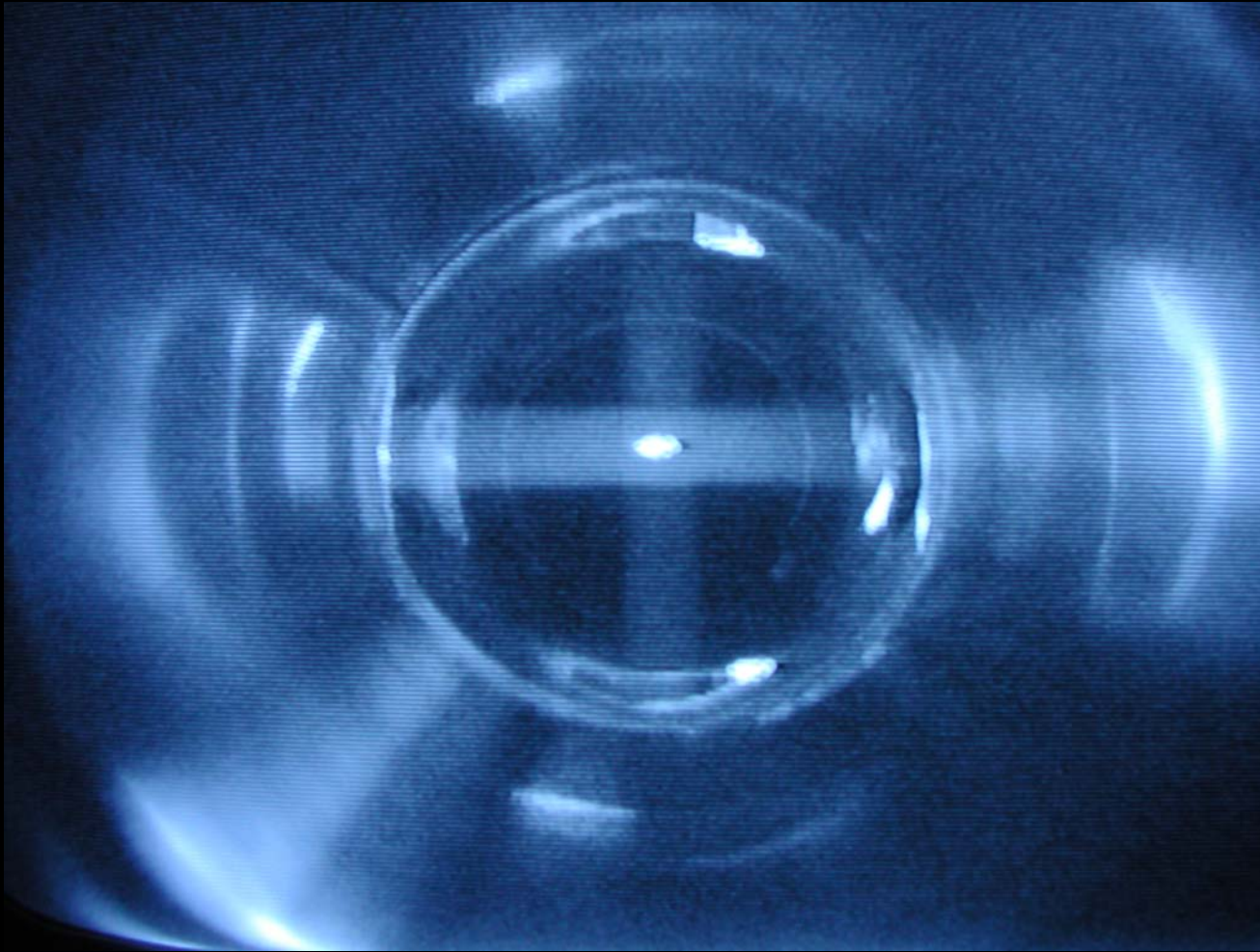
→ Bohr Weisskopf effect

β - ν angular correlation

W. I. Parity Violation test

- Trapping capabilities can be extended to K and Li isotopes
- Any proposition is welcome!!
- Set up can be moved to any facility
- Schedule

THANK YOU FOR YOUR
ATTENTION



Principe du MOT

Refroidissement laser

Idée 1 : force exercée par une lumière résonnante sur un atome.

Absorption:



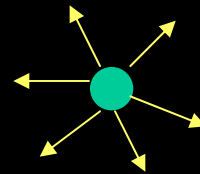
Impulsion vers l'avant



Laser de fréquence ν_0



Émission spontanée:



ISOTROPE



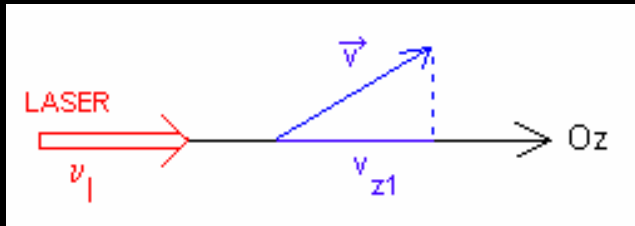
BILAN : Force exercée sur l'atome dans la direction et le sens du faisceau.

Principe du MOT

Refroidissement laser

Idée 2: Utilisation de 2 faisceaux contrapropagatifs de fréquence $\nu_1 < \nu_0$

Effet DOPPLER:



Atome de vitesse v perçoit une fréquence lumineuse:

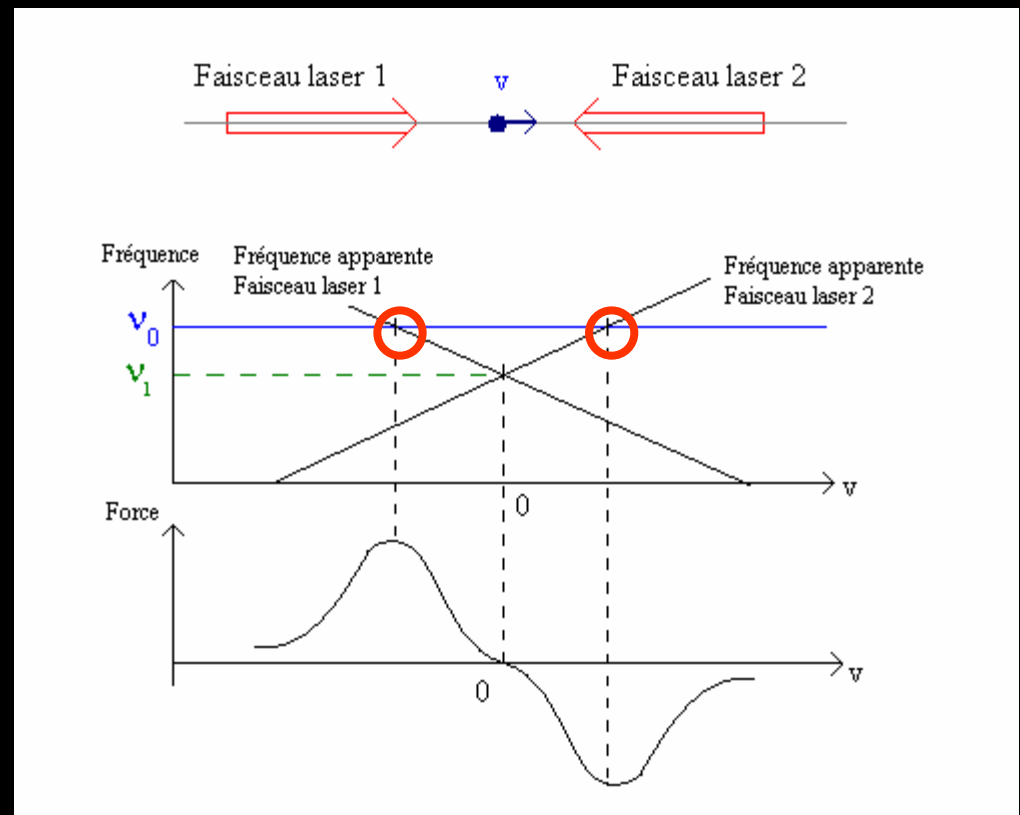
$$\nu_{atome} = \nu_l \frac{1}{1 + \frac{v_{z1}}{c}}$$

Atome et laser en situation:

Parallèle $< \nu_1$

Antiparallèle $> \nu_1$

REFROIDISSEMENT:



➡ « MELASSE OPTIQUE »

Principe du MOT

Piégeage des atomes

Confinement des atomes ? => Utilisation d'un **gradient de champ magnétique**.

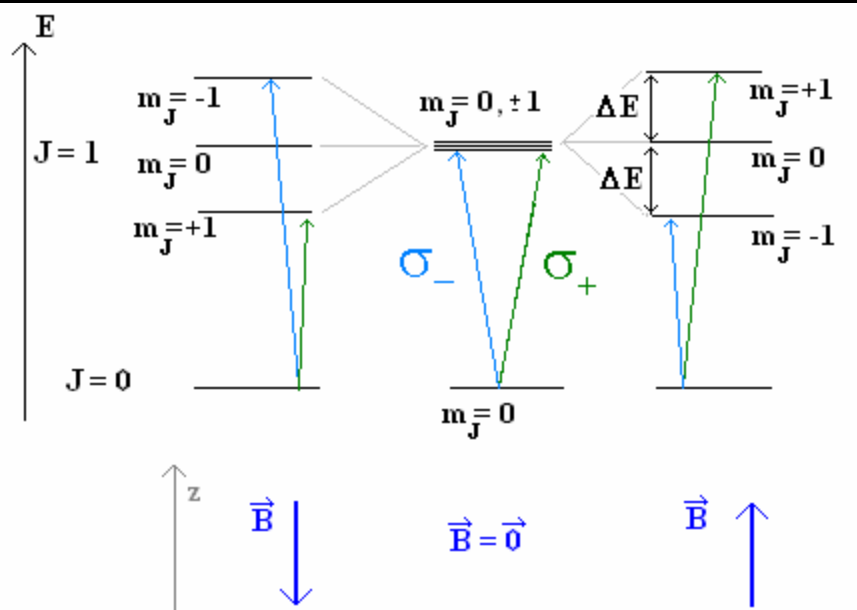
Modèle simplifié : atome effectuant une transition $J = 0 \rightarrow J = 1$

Effet ZEEMAN:

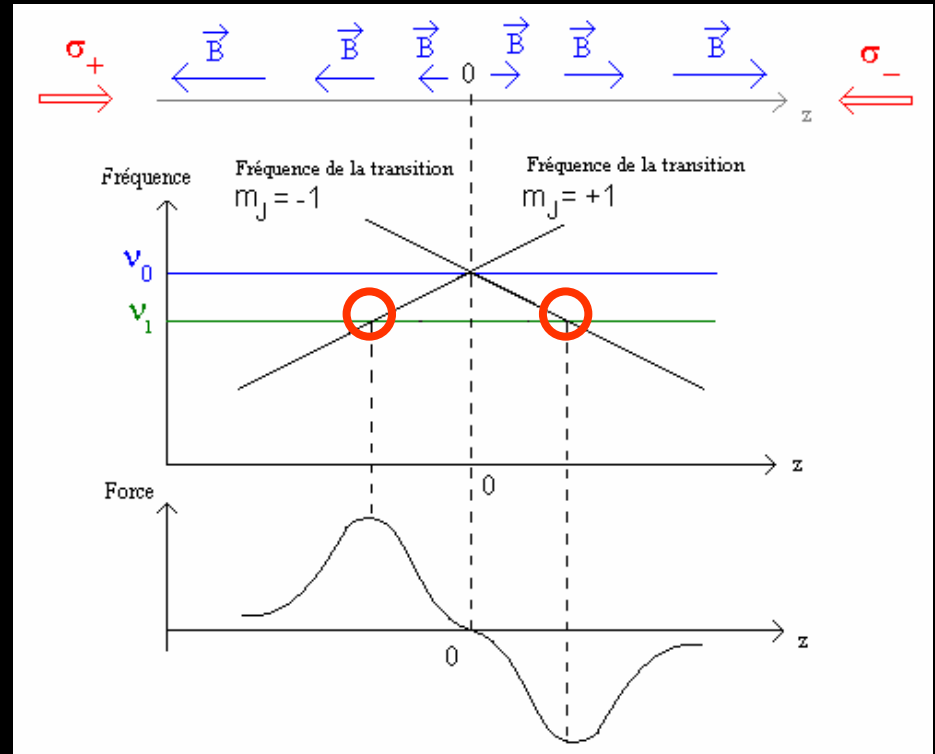
Levée de dégénérescence des sous niveaux m_J en présence d'un champ magnétique:

$$\Delta E = g\mu_B m_J B$$

g facteur de Landé, μ_B magnéton de Bohr



Utilisation de **2 faisceaux contrapropagatifs de polarisations opposées**, en présence d'un gradient de champ porté par l'axe des faisceaux:



FORCE DE RAPPEL

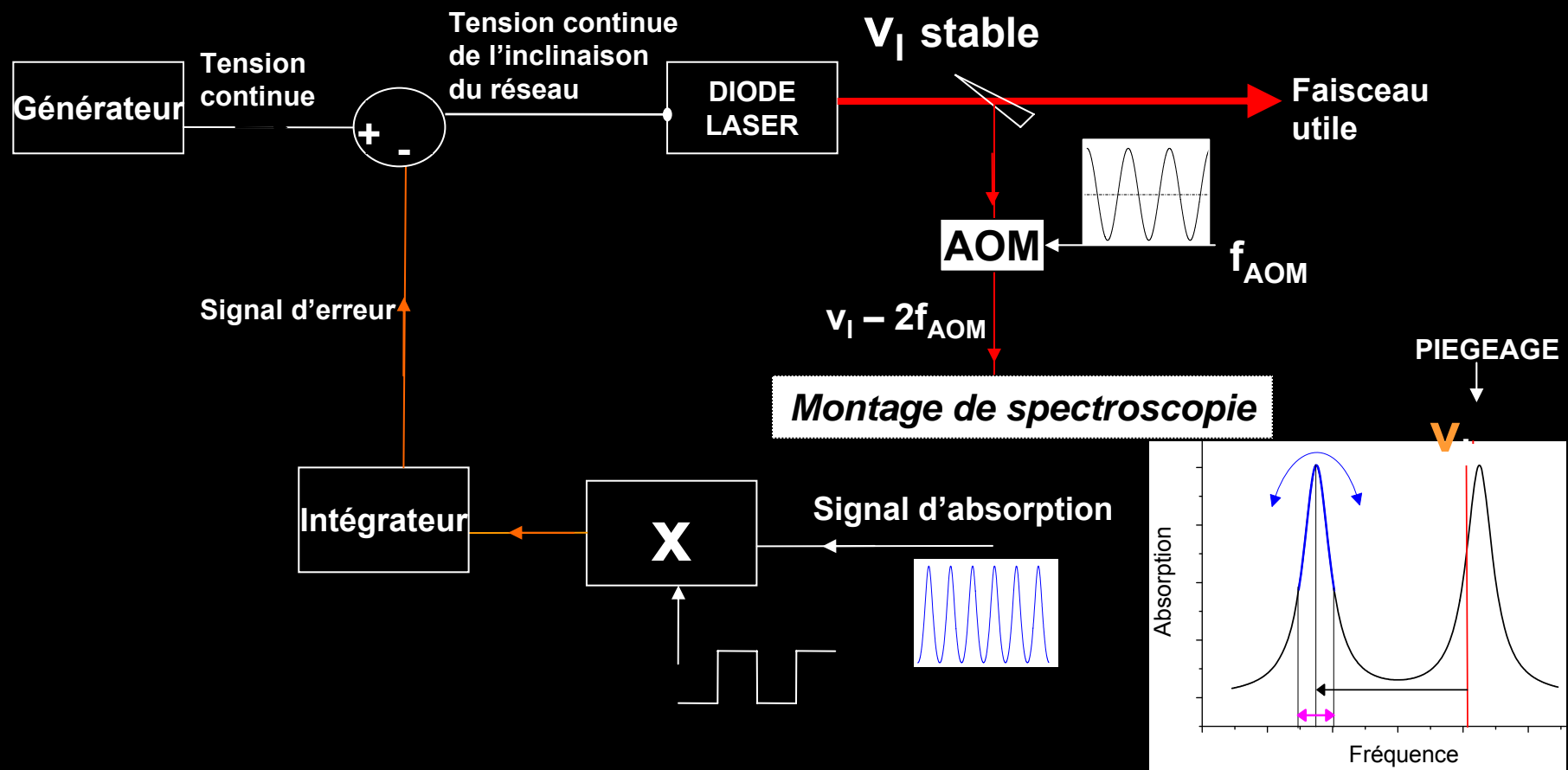
Principe du MOT

Asservissement de la fréquence d'émission laser

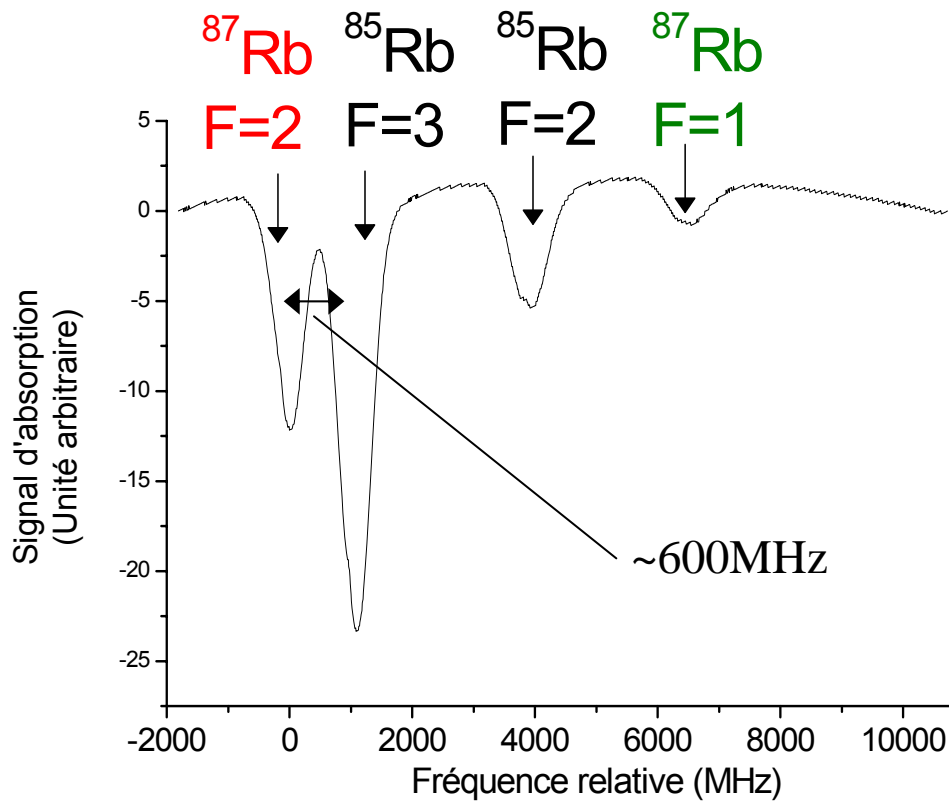
Principe de la boucle d'asservissement pour le laser de piégeage:

Utilisation d'un modulateur acousto-optique (AOM) placé en entrée du montage de spectroscopie :

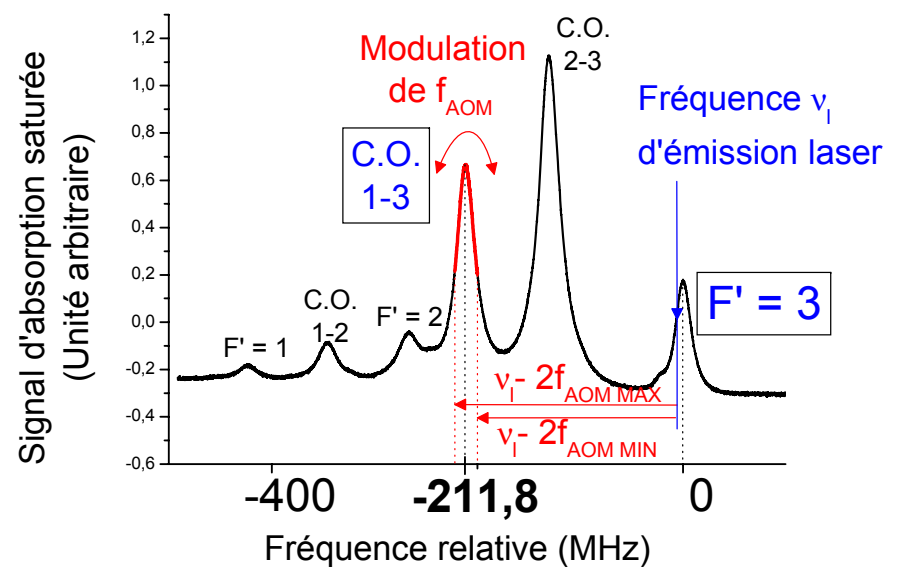
- Décalage de la fréquence lumineuse
- Modulation sur une raie voisine de la transition de piégeage



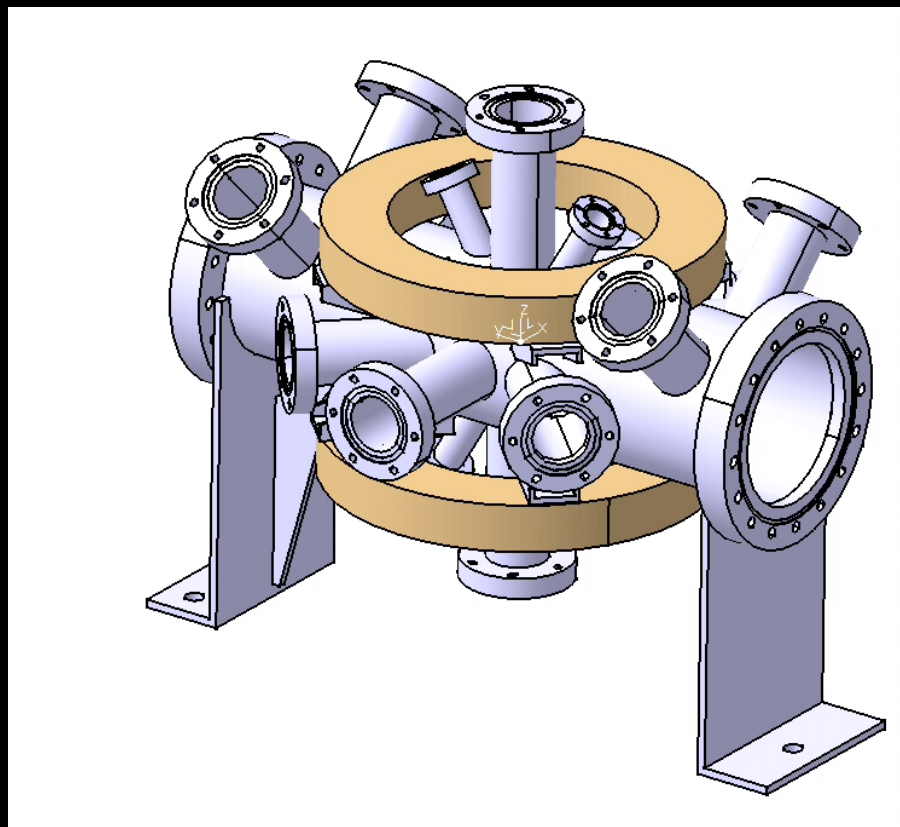
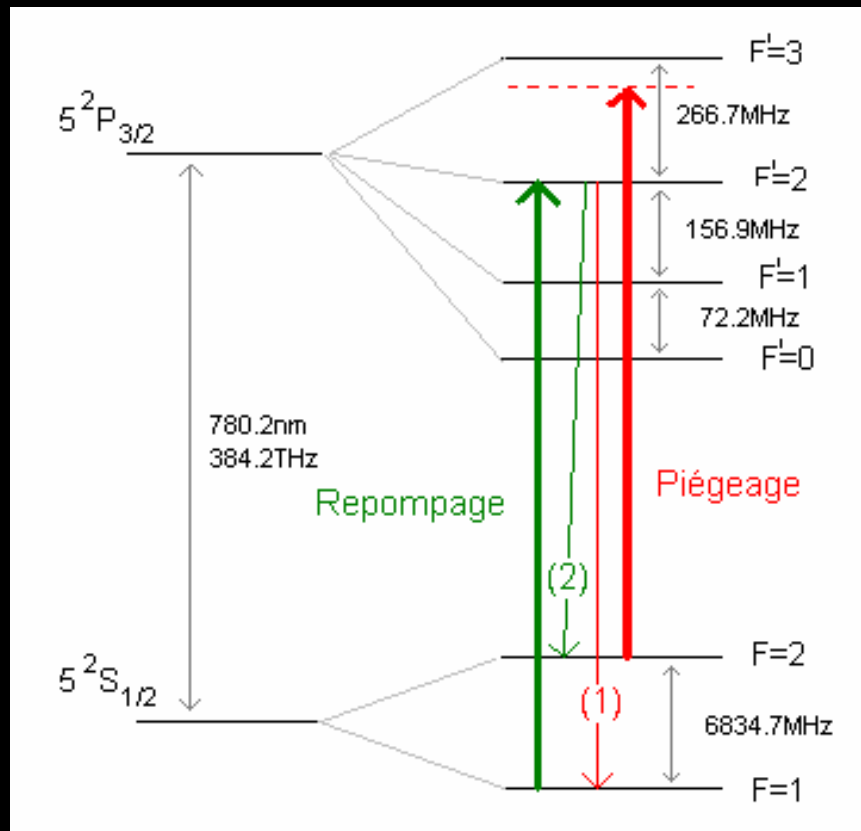
➔ Faisceau utile envoyé vers le piège de fréquence stable



Profil d'absorption saturée du ^{87}Rb
 Transition $5^2S_{1/2}(F=2)-5^2P_{3/2}(F'=1,2,3)$



Laser frequency : +/- 50 kHz over 384.2 THz



^{87}Rb D₂ line

Number of atoms in the MOT

$$f = \frac{n_{excited}}{n_{total}}$$

$$f = \frac{s_0}{1 + 2s_0 + 4\left(\frac{\Delta}{\Gamma}\right)^2}$$

$\Delta =$ *Laser Detuning*

$\Gamma =$ *Linewidth of Excited State*

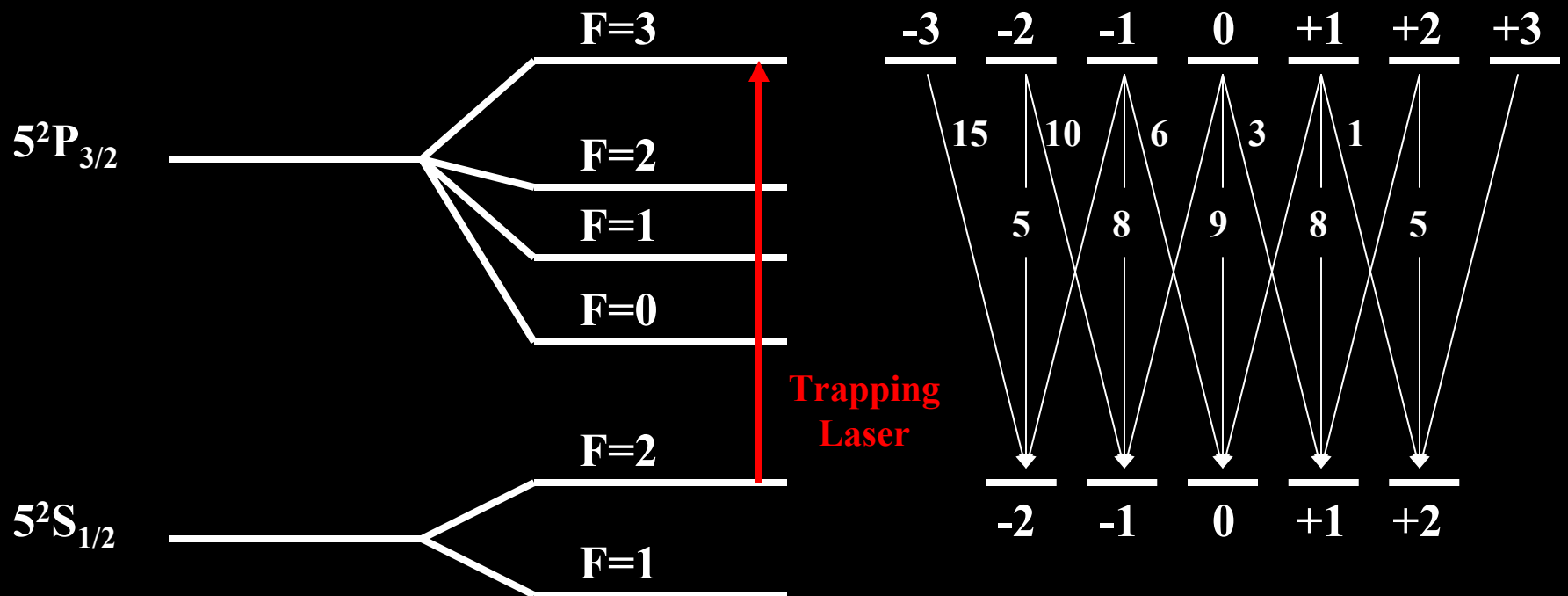
$$s_0 = \frac{I_{total}}{I_{saturation}}$$

$$I_{saturation} = \frac{2\pi hc}{3\lambda^3} \gamma$$

$\gamma =$ *Spontaneous Emission Rate of System*

So, What's the Problem!?

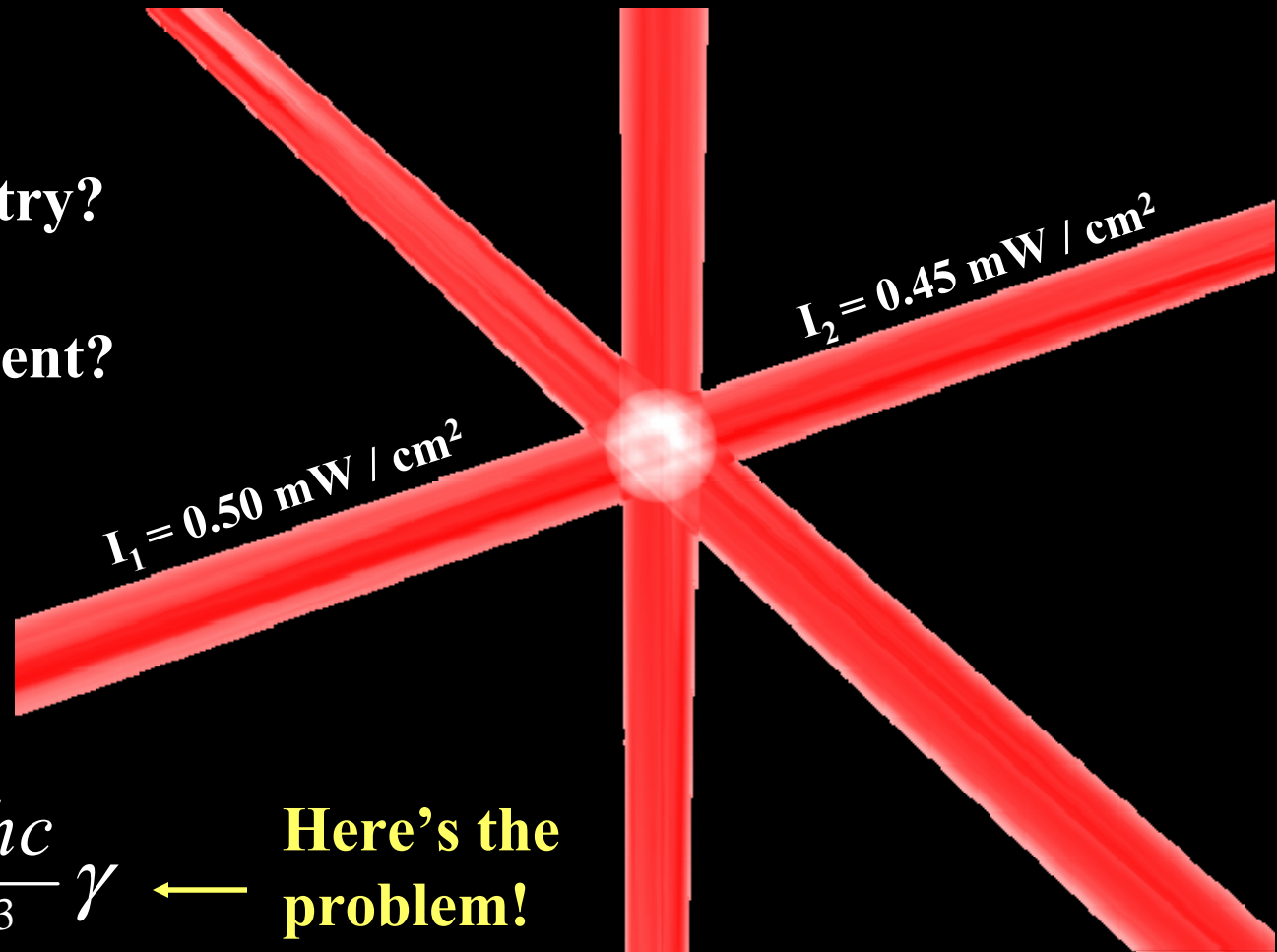
Specific Example: ^{87}Rb



So, What's the Problem!?

Beam Symmetry?

B-Field Gradient?



$$I_{\text{saturation}} = \frac{2\pi hc}{3\lambda^3} \gamma \quad \leftarrow \text{Here's the problem!}$$

